

УДК 539.3

# Дифракция плоских гармонических волн на периодической системе жестких цилиндров

А.М. Назаренко, А.М. Ложкин

Сумський національний університет,  
Суми

**Аннотация.** Методом интегральных уравнений решается задача дифракции плоских гармонических волн на периодической системе жестких цилиндрических включений произвольного поперечного сечения. Полученные сингулярные интегральные уравнения реализуются численно. Проведен параметрический анализ напряженно-деформированного состояния среды на границе включений.

## Введение

В [1] методом разложения в ряд по собственным функциям решены задачи дифракции плоских волн на периодических системах цилиндрических круговых включений или полостей. В [2] методом интегрального разложения по функциям Бесселя рассмотрена классическая динамическая смешанная краевая задача для полупространства с круговой цилиндрической полостью. В [3] для решения задач о локальном рассеянии стационарных волн плоской деформации на туннельных цилиндрических полостях эллиптического сечения предложен метод конформных отображений с использованием малой коррекции упругих постоянных в анизотропных телах моноклинной системы. Методом  $R$ -функций в [4] исследуется дифракция плоской волны расширения на двух отверстиях произвольной формы в бесконечной пластине. В [5, 6] для решения плоских дифракционных задач предлагается метод интегральных уравнений. В [7] этим методом изучается дифракция плоских гармонических волн на периодической системе неподвижных включений произвольного поперечного сечения. В настоящей работе делается обобщение на случай периодической решетки, составленной из жестких цилиндров.

## 1. Постановка задачи

Пусть на  $2d$ -периодическую систему абсолютно жестких цилиндрических включений произвольного поперечного сечения набегает гармоническая волна расширения-сжатия ( $P$ -случай):

$$U_1^{(0)} = 0, \quad U_2^{(0)} = \tau_1 e^{-i\gamma_1 x_2}, \quad \gamma_1 = \frac{\omega}{c_1}, \quad c_1 = \sqrt{\frac{\lambda + 2\mu}{\rho}}, \quad \tau_1 = \text{const}, \quad (1.1)$$

или волна сдвига ( $SV$ -случай):

$$U_1^{(0)} = \tau_2 e^{-i\gamma_2 x_2}, \quad U_2^{(0)} = 0, \quad \gamma_2 = \frac{\omega}{c_2}, \quad c_2 = \sqrt{\frac{\mu}{\rho}}, \quad \tau_2 = \text{const}. \quad (1.2)$$

Здесь  $c_1$  и  $c_2$  – скорости продольной и поперечной волн в матрице,  $\lambda$ ,  $\mu$  и  $\rho$  – коэффициенты Ламе и плотность среды,  $\omega$  – круговая частота колебаний,  $i^2 = -1$  (зависимость от времени выражается множителем  $e^{-i\omega t}$ ).

Будем считать, что плотность включений постоянна и равна  $\rho_0$ , их центры расположены вдоль оси  $Ox_1$ , а сечения цилиндров плоскостью  $Ox_1 x_2$  ограничены замкнутыми гладкими контурами  $L_j = L(\text{mod}2d)$  типа Ляпунова.

Взаимодействуя с включениями, падающая волна порождает отраженные продольные и поперечные волны. Их совокупность определяет напряженно-деформированное состояние среды, которое требуется определить. Следуя принципу суперпозиции, общее поле амплитуд перемещений и компонент тензора напряжений будем искать в виде суммы падающего и отраженного волновых полей:

$$U_k = U_k^{(0)} + U_k^{(1.1)}, \quad \tau_{mn} = \tau_{mn}^{(0)} + \tau_{mn}^{(1.1)}, \quad k, m, n = 1, 2, \quad (1.3)$$

$$\tau_{mn} = \lambda \delta_{mn} (U_{1,1} + U_{2,2}) + \mu (U_{m,n} + U_{n,m}).$$

Здесь  $U_k^{(0)}$ ,  $\tau_{mn}^{(0)}$  и  $U_k^{(1.1)}$ ,  $\tau_{mn}^{(1.1)}$  – амплитуды компонент вектора перемещений и тензора напряжений набегающего и возмущенного волновых полей,  $\delta_{mn}$  – символ Кронекера.

Отраженное поле перемещений должно удовлетворять условиям излучения на бесконечности, а также уравнениям движения [1]. Кроме того, должны выполняться условия на границе жесткого включения:

$$U_1 = B_1 - \omega_0 \eta, \quad U_2 = B_2 + \omega_0 \xi, \quad \zeta = \xi + i\eta \in L, \quad (1.4)$$

где  $B_1$ ,  $B_2$  и  $\omega_0$  – амплитуды поступательного движения и жесткого поворота включения.

## 2. Метод исследования

Представления для амплитуд перемещений отраженного волнового поля будем записывать в виде потенциалов типа простого слоя [7] (суммирование по  $n = 1, 2$ ):

$$U_k^{(1.1)}(M) = \int_L V_n^{(k)}(M, P)p_n(s)ds, k = 1, 2. \quad (2.1)$$

Здесь  $p_n(s)$  – неизвестные плотности;  $V_n^{(k)}$  – компоненты матрицы Грина, представляющие собой амплитуды перемещений в точке  $M$  при действии периодической системы гармонических сил, приложенных в точках  $\zeta_j = \xi + 2jd + i\eta \in L_j$  ( $j = 0, 1, \dots$ ) и направленных вдоль оси  $Ox_1$  ( $k = 1$ ) или вдоль оси  $Ox_2$  ( $k = 2$ ).

Уравнения для амплитуд перемещений  $V_n^{(k)}$  имеют вид:

$$V_n^{(k)} = (-1)^{n+k}L_{nk}G, L_{12} = L_{21} = (\lambda + \mu)\frac{\partial^2}{\partial x_1 \partial x_2}, k, n = 1, 2, \quad (2.2)$$

$$L_{11} = \mu\frac{\partial^2}{\partial x_1^2} + (\lambda + 2\mu)\frac{\partial^2}{\partial x_2^2} + \rho\omega^2, L_{22} = (\lambda + 2\mu)\frac{\partial^2}{\partial x_1^2} + \mu\frac{\partial^2}{\partial x_2^2} + \rho\omega^2,$$

$$(\Delta + \gamma_1^2)(\Delta + \gamma_2^2)G = F, F = -c \sum_{j=-\infty}^{\infty} \delta(x_1 - \xi + 2jd, x_2 - \eta),$$

где  $\delta(x_1, x_2)$  – дельта функция Дирака,  $\nu$  – коэффициент Пуассона,  $c = \frac{1}{\mu(\lambda + 2\mu)}$ .

Фундаментальное решение уравнения (2.2) выражается формулой

$$G(M, P) = \frac{c}{2d(\gamma_2^2 - \gamma_1^2)} \sum_{j=0}^{\infty} \left( \frac{e^{-\beta_1(x_2 - \eta)}}{\beta_1} - \frac{e^{-\beta_2(x_2 - \eta)}}{\beta_2} \right) \frac{\cos \alpha_j(x_1 - \xi)}{1 + \delta_{j0}}, \quad (2.3)$$

$$\alpha_j = \frac{\pi j}{d}, \beta_m = \sqrt{\alpha_j^2 - \gamma_m^2}, \alpha_j > \gamma_m; \beta_m = -i\sqrt{\gamma_m^2 - \alpha_j^2}, \alpha_j < \gamma_m.$$

Анализ функциональных рядов, присутствующих в (2.3), показывает, что функции Грина  $V_1^{(1.2)}$  и  $V_2^{(1.1)}$  (2.2) непрерывны в точке приложения сосредоточенного источника, а функции  $V_1^{(1.1)}$  и  $V_2^{(1.2)}$  имеют логарифмическую особенность. Для выделения логарифмической особенности в явном виде фундаментальное решение  $G$  (2.3) динамической задачи представлялось в виде  $G = G_0 + (G - G_0)$ , где  $G_0$  – периодическое фундаментальное решение бигармонического уравнения  $\Delta^2 G_0 = F$ , соответствующее статической задаче ( $\omega = 0$ ).

В результате приходим к следующим выражениям для  $V_n^{(k)}$ :

$$V_1^{(1.2)} = V_{10}^{(1.2)} + c\frac{\lambda + \mu}{2d}h_0 \sum_{j=1}^{\infty} \left( \alpha_j(d_2 - d_1) - \frac{|x_2 - \eta|}{2} e^{-\alpha_j|x_2 - \eta|} \right) s_1, \quad (2.4)$$

$$\begin{aligned}
V_n^{(n)} &= V_{n0}^{(n)} + c \frac{\lambda + \mu}{2d} \left\{ \sum_{j=1}^{\infty} \left( \frac{\alpha_j^2}{\beta_n} d_n - \beta_l d_l - r_n e^{-\alpha_j |x_2 - \eta|} \right) s_2 - \right. \\
&\quad \left. - \frac{1}{2i} \frac{\gamma_l}{\gamma_2^2 - \gamma_1^2} e^{i\gamma_l |x_2 - \eta|} + \frac{\chi - (-1)^n}{4} |x_2 - \eta| \right\}, \quad V_2^{(1.1)} = V_1^{(1.2)}, \quad l \cdot n = 2, \\
d_n &= \frac{e^{-\beta_n |\eta_0 - \eta|}}{\gamma_2^2 - \gamma_1^2}, \quad r_n = \frac{\chi + (-1)^n \alpha_j |x_2 - \eta|}{2\alpha_j}, \quad \zeta = \xi + i\eta, \quad z = x_1 + ix_2, \\
h_0 &= \text{sign}(x_2 - \eta), \quad s_1 = \sin \alpha_j (x_1 - \xi), \quad s_2 = \cos \alpha_j (x_1 - \xi), \quad \chi = 3 - 4\nu, \\
V_{n0}^{(n)} &= -c \frac{\lambda + \mu}{4} \left[ \frac{\chi}{\pi} \text{Re} \{ \ln t_2 \} + (-1)^n \frac{x_2 - \eta}{2d} \text{Im} \{ t_1 \} + \frac{\chi \ln 2}{\pi} \right], \\
V_{10}^{(1.2)} &= V_{20}^{(1.1)} = c \frac{\lambda + \mu}{8} \cdot \frac{x_2 - \eta}{d} \text{Re} \{ t_1 \}, \quad t_1 = \text{ctg} \frac{\pi(z - \zeta)}{2d}, \quad t_2 = \sin \frac{\pi(z - \zeta)}{2d}.
\end{aligned}$$

Здесь  $V_{n0}^{(k)}$  – компоненты матрицы Грина статической задачи.

При выборе представлений в виде (2.1) амплитуды перемещений отраженного волнового поля автоматически удовлетворяют уравнениям движения. Кроме того, за счет выбора знаков для  $\beta_m$  в (2.3) выполняются условия излучения на бесконечности, то есть отраженное волновое поле имеет характер расходящихся волн.

Для построения эффективного численного алгоритма граничные условия (1.4) дифференцировались по дуговой координате  $s_0$  и записывались в виде:

$$\begin{aligned}
\frac{d(U_1 + iU_2)}{ds_0} \Big|_L &= i\omega_0 e^{i\varphi_0}, \quad \frac{d(U_1 - iU_2)}{ds_0} \Big|_L = -i\omega_0 e^{-i\varphi_0}, \quad (2.5) \\
\frac{dW}{ds_0} &= \left( \frac{\partial W}{\partial z} e^{i\varphi_0} + \frac{\partial W}{\partial \bar{z}} e^{-i\varphi_0} \right)_{z \rightarrow \zeta_0},
\end{aligned}$$

где  $\varphi_0$  – угол положительной касательной к  $L$  в точке  $\zeta_0 = \xi_0 + i\eta_0 \in L$  с осью  $Ox_1$ , (здесь и в дальнейшем черточка над переменной означает сопряжение, то есть если  $z = x_1 + ix_2$ , то  $\bar{z} = x_1 - ix_2$ ).

Выполнение граничных условий (2.5) сводит краевую задачу к системе сингулярных интегральных уравнений первого рода:

$$\int_L B_{mn}(s_0, s) f_n(s) ds = M_m(s_0) \omega_0 + N_m(s_0), \quad n, m = 1, 2, \quad (2.6)$$

$$\begin{aligned}
B_{mn} &= -c \frac{\lambda + \mu}{4d} (E_{mn} + \sum_{j=0}^{\infty} F_{mn}(j)), \quad E_{nn} = \frac{\chi}{2} \text{Re} \left\{ \text{ctg} \frac{\pi(\zeta_0 - \zeta)}{2d} e^{i\varphi_0} \right\}, \\
E_{21} &= \frac{\pi(\eta_0 - \eta)}{4id} \frac{e^{i\varphi_0}}{\sin^2(\pi(\zeta_0 - \zeta)/2d)} - \frac{1}{2i} \text{ctg} \frac{\pi(\zeta_0 - \zeta)}{2d} \sin \varphi_0, \quad E_{12} = \bar{E}_{21},
\end{aligned}$$

$$\begin{aligned}
F_{nn}(j) &= \frac{1}{1 + \delta_{j0}} (\alpha_j g_l \sin \alpha_j (\xi_0 - \xi) \cos \varphi_0 + h_1 \beta_l g_l \cos \alpha_j (\xi_0 - \xi) \sin \varphi_0 - \\
&\quad - \chi e^{-\alpha_j |\eta_0 - \eta|} \sin(\alpha_j (\xi_0 - \xi) + h_1 \varphi_0)), \\
F_{mn}(j) &= \alpha_j (a_l \cos \varphi_0 + (-1)^m 2i \beta_l b_l \sin \varphi_0) \sin \alpha_j (\xi_0 - \xi) + \\
&+ h_1 (\beta_l a_l \sin \varphi_0 - (-1)^m 2i \alpha_j^2 b_l \cos \varphi_0) \frac{\cos \alpha_j (\xi_0 - \xi)}{1 + \delta_{j0}} + e_m, \quad m \neq n, \quad n \cdot l = 2, \\
g_l &= \frac{\gamma_l^2 e^{-\beta_l |\eta_0 - \eta|}}{\beta_l (\gamma_2^2 - \gamma_1^2)}, \quad b_l = \frac{e^{-\beta_l |\eta_0 - \eta|}}{\gamma_n^2 - \gamma_l^2}, \quad a_l = \frac{(\alpha_j^2 + \beta_l^2) e^{-\beta_l |\eta_0 - \eta|}}{\beta_l (\gamma_n^2 - \gamma_l^2)}, \\
e_2 &= (-i \alpha_j (\eta_0 - \eta) e^{i\varphi_0} - h_1 \sin \varphi_0) \frac{e^{ih_1 \alpha_j (\zeta_0 - \zeta)}}{1 + \delta_{j0}}, \quad e_1 = \bar{e}_2, \quad h_1 = \text{sign}(\eta_0 - \eta), \\
f_1 &= p_1 + ip_2, \quad f_2 = p_1 - ip_2, \quad M_1 = i\omega_0 e^{i\varphi_0}, \quad M_2 = \bar{M}_1,
\end{aligned}$$

$N_1 = -N_2 = -\gamma_1 \tau e^{-i\gamma_1 \eta_0} \sin \varphi_0$  – в  $P$ -случае,

$N_1 = N_2 = i\gamma_2 \tau e^{-i\gamma_2 \eta_0} \sin \varphi_0$  – в  $SV$ -случае.

Анализ ядер системы уравнений (2.6) показывает, что ядра  $B_{11}$  и  $B_{22}$  являются сингулярными, а ядра  $B_{12}$  и  $B_{21}$  – непрерывными. Следовательно, (2.6) – система сингулярных интегральных уравнений первого рода.

Необходимые для разрешимости этой системы уравнений три дополнительных условия вытекают из законов поступательного и вращательного движения абсолютно жесткого тела. Для поступательного движения, исходя из второго закона Ньютона, получаем:

$$\int_L S_1 ds = -\omega^2 \rho_0 S_0 B_1, \quad \int_L S_2 ds = -\omega^2 \rho_0 S_0 B_2, \quad (2.7)$$

а уравнение, описывающее вращательное движение, запишем в виде:

$$\int_L (S_1 (\eta - y) - S_2 (\xi - x)) ds = -\omega^2 J_A \omega_0, \quad (2.8)$$

где  $S_1$  и  $S_2$  – амплитуды компонент вектора напряжения на контуре  $L$ ;  $S_0$  и  $\rho_0$  – площадь и плотность включения, ограниченного контуром  $L$ ;  $J_A$  – момент инерции включения относительно точки  $A(x, y)$ ; постоянные  $B_1$  и  $B_2$  определяются согласно (1.4).

### 3. Результаты численных исследований

При численной реализации алгоритма в настоящей работе использован метод механических квадратур [8]. В качестве примера рассматривалась среда, содержащая бесконечную периодическую систему жестких цилиндрических включений эллиптического поперечного сечения

На границе включения проводилось вычисление безразмерных напряжений

$$\sigma_n = |\tau_n| / P, \quad \sigma_s = |\tau_s| / P, \quad \sigma_{ns} = |\tau_{ns}| / P, \quad (3.1)$$

где  $\tau_n$  и  $\tau_{ns}$  – амплитуды нормального и тангенциального напряжений на  $L$ ;  $\tau_s$  определяется из соотношения  $\tau_s + \tau_n = \tau_{11} + \tau_{22}$ ;  $P$  – максимальное напряжение в падающей волне, равное  $\gamma_1 \tau_1 (\lambda + 2\mu)$  в случае набегания на цилиндр  $P$ -волны (1.1) и  $\gamma_2 \tau_2 \mu$  – в случае  $SV$ -волны (1.2).

$$\xi = a \sin \beta, \quad \eta = -b \cos \beta, \quad 0 \leq \beta \leq 2\pi. \quad (3.2)$$

На рис. 1 и 2 приведены распределения напряжений  $\sigma_n$  и  $\sigma_{ns}$  вдоль контура эллиптического жесткого включения (3.2) в случае набегания  $P$ - и  $SV$ -волн соответственно при  $a/b = 0,5$ ;  $\nu = 0,3$ ;  $a/d = 0,5$ ;  $\lambda_0/2a = 1,2$  ( $\lambda_0$  – длина падающей волны:  $\lambda_0 = 2\pi/\gamma_1$  в  $P$ -случае и  $\lambda_0 = 2\pi/\gamma_2$  в  $SV$ -случае). Кривые 1, 2, 3 и 4 соответствуют значениям  $\rho_0/\rho = 0,5; 1,0; 2,0$  и  $5,0$ . Расчеты показывают, что существует принципиальное различие в распределении контурных напряжений при набегании на жесткое включение волны расширения-сжатия (1.1) или волны сдвига (1.2). В  $P$ -случае напряжения  $\sigma_n$  достигают максимума в лобовой  $\beta = 180^\circ$  точке; в  $SV$ -случае напряжения  $\sigma_n$  в лобовой  $\beta = 180^\circ$  и теневой  $\beta = 0^\circ$  точках равны нулю и достигают максимумов в теневой и освещенной зонах. Напряжения  $\sigma_{ns}$  в  $P$ -случае в лобовой и теневой точках равны нулю, а их максимум достигается вблизи точки соскальзывания; в  $SV$ -случае напряжения  $\sigma_{ns}$  принимают максимальные значения в лобовой точке и имеют локальный максимум вблизи точки  $\beta = 90^\circ$ . При увеличении параметра  $\rho_0/\rho$  наблюдается увеличение напряжений  $\sigma_n$  в  $P$ -случае и  $\sigma_{ns}$  в  $SV$ -случае вблизи лобовой точки и их уменьшение в окрестности теневой точки, а максимальные значения напряжений  $\sigma_n$  в  $SV$ -случае смещаются из теневой области (при  $\rho_0/\rho < 1$ ) в освещенную (при  $\rho_0/\rho > 1$ ).

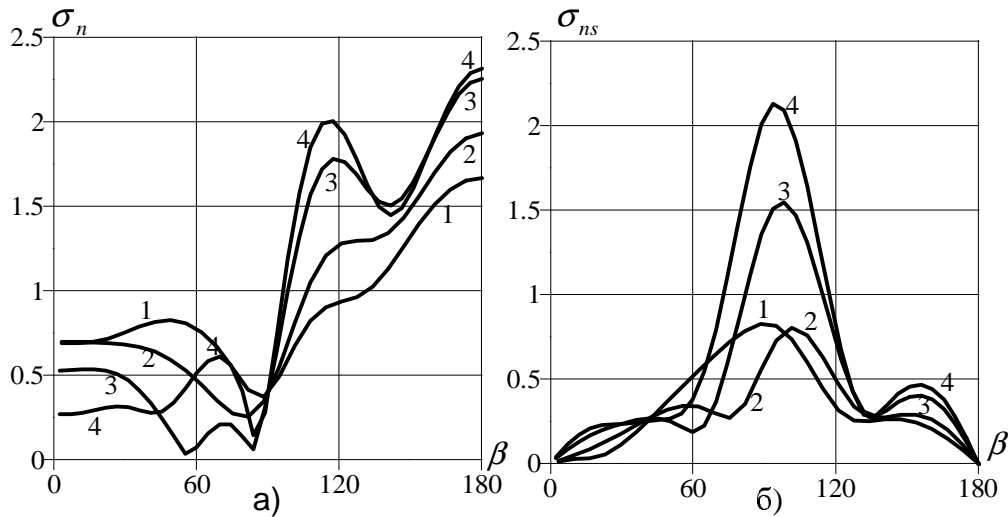


Рис. 1.

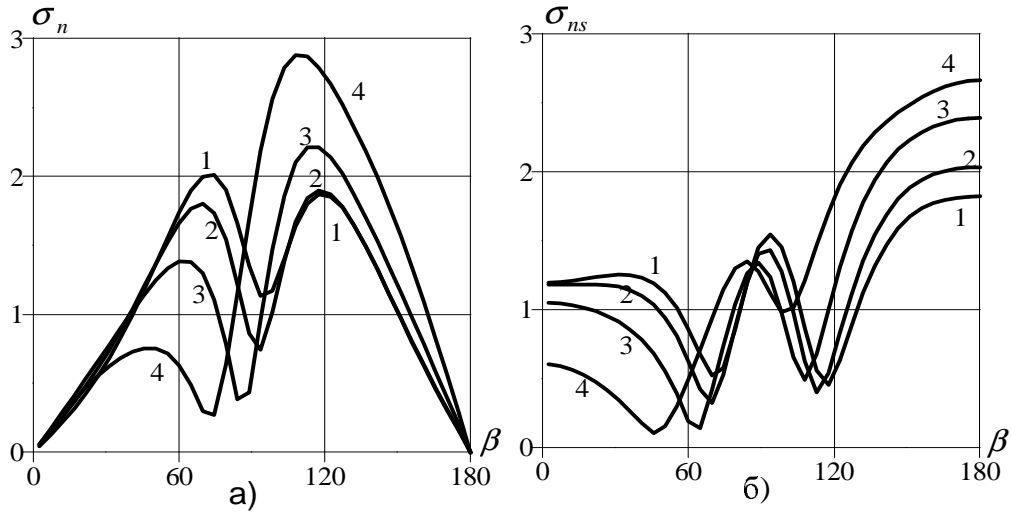


Рис. 2.

Отметим, что при дифракции продольной (1.1) или поперечной (1.2) волны на жестком эллиптическом включении (3.2) напряжение  $\sigma_s$  всегда меньше  $\sigma_n$  и связано с ним соотношением  $\sigma_s = \nu\sigma_n/(1 - \nu)$ .

На рис. 3 и 4 приведены распределения максимальных контурных напряжений  $\sigma_n$  и  $\sigma_{ns}$  в зависимости от отношения плотностей включения и матрицы  $\rho_0/\rho$  в  $P$ - и  $SV$ -случаях соответственно при  $a/b = 0,5$ ;  $\nu = 0,3$ ;  $a/d = 0,5$ . Кривые 1, 2, 3 и 4 отвечают значениям  $\lambda_0/2a = 0,35; 0,6; 1,2$  и  $1,9$ . Видно, что в данном случае также существует принципиальное отличие между  $P$ - и  $SV$ -случаями. Так, с увеличением параметра  $\rho_0/\rho$  напряжения  $\sigma_n$  в  $P$ -случае и напряжения  $\sigma_{ns}$  в  $SV$ -случае сначала возрастают, а затем при достижении определенного значения (зависящего от отношения длины волны к оси эллипса) они начинают постепенно стабилизироваться и стремится к напряжению, соответствующему неподвижному включению [7]. Напряжения  $\sigma_{ns}$  в  $P$ -случае и  $\sigma_n$  в  $SV$ -случае, наоборот, сначала убывают, а затем наступает процесс стабилизации. Причем, в случае коротких волн ( $\lambda_0/2a = 0,35$ ; и  $0,6$ ;) жесткое включение начинает вести себя как неподвижное уже при  $\rho_0/\rho = 5$  (например, при  $\lambda_0/2a = 0,35$  максимальные напряжения на контуре жесткого включения отличаются от соответствующих напряжений на контуре неподвижного включения менее, чем на 2%). В случае средних и длинных волн ( $\lambda_0/2a = 1,2$  и  $1,9$ ) даже при довольно больших отношениях плотностей включения и матрицы максимальные напряжения  $\sigma_n$  и  $\sigma_{ns}$  продолжают изменяться при увеличении  $\rho_0/\rho$ . В данном случае стабилизация напряжений происходит при  $\rho_0/\rho > 10$ .

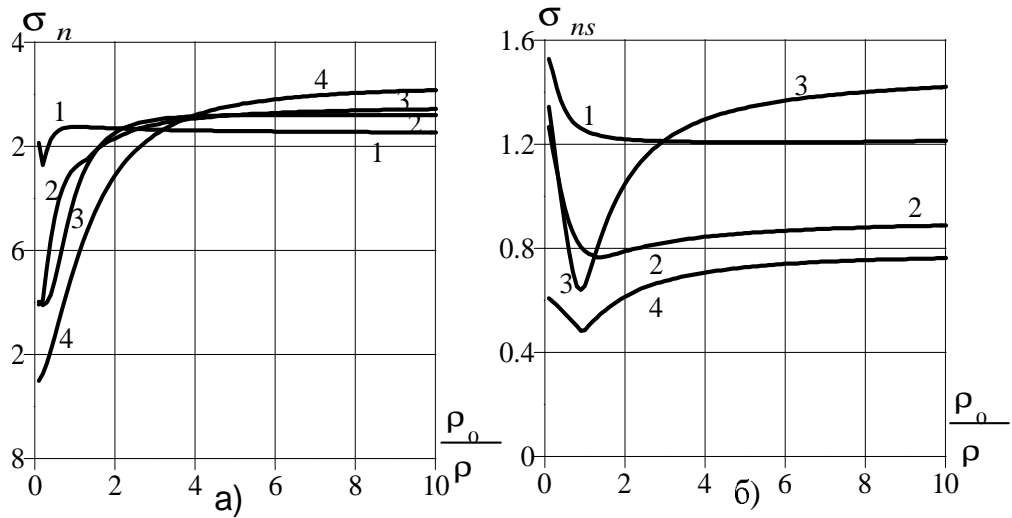


Рис. 3.

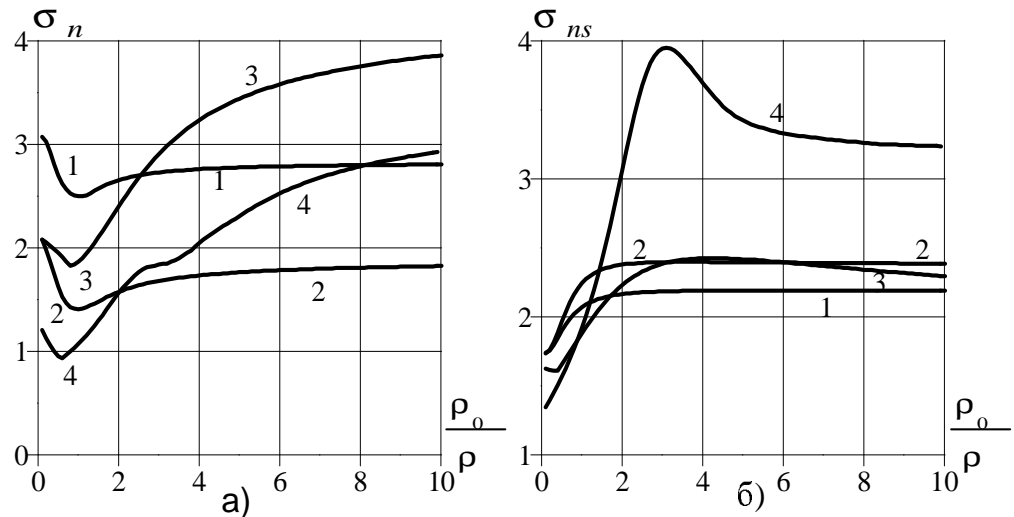


Рис. 4.

### Список цитируемых источников

- Гузь А.Н., Кубенко В.Д., Черевко М.А. Дифракция упругих волн. — К.: Наук. думка, 1978. — 307с.
- Малиц П.Я., Сницер А.Р., Шевляков Ю.А. О решении задачи Рейснера-Сагоци для полупространства с цилиндрической полостью // Прикл. механика. — 1989. — Т.25, №7. — С. 24-30.

3. Сторожев В.И., Волобуева Т.В. Дифракция волн плоской деформации на цилиндрической полости в анизотропном массиве моноклинной системы // Теорет. и прикладная механика. — 1999. — Вып. 30. — С. 137-147.
4. Гулляев Ю.Б., Краевченко В.Ф. и др. Исследование дифракции упругих волн на пластинах, ослабленных двумя отверстиями произвольной формы // Докл. РАН. Математическая физика. — 1996. — Т. 349, №2. — С. 175-179.
5. Фильшинский Л.А. Дифракция упругих волн на трещинах, отверстиях, включениях в изотропной среде // Мех. тверд. тела. — 1991. — №4. — С. 119-127.
6. Назаренко А.М. Дифракция гармонических волн на цилиндрическом упругом включении в условиях плоской деформации // Динамические системы: Межвед. науч. сб. — 2005. — Вып. 19. — С. 54-60.
7. Назаренко А.М., Лоэжкин А.М. Взаимодействие плоских гармонических волн с периодической системой неподвижных цилиндрических включений в условиях плоской деформации // Вестник НТУ "ХПИ". Тем. вып. Динам. и прочность машин. — 2005. — №20. — С. 129-134.
8. Панасюк В.В., Саврук М.П., Назарчук З.Т. Метод сингулярных интегральных уравнений в двумерных задачах дифракции. — К.: Наук. думка, 1984. — 344 с.

Получено 06.09.2006